

## مقاله پژوهشی

# مطالعه اثر درمان ترکیبی اسانس زینان و لیزر کم توان بر بقاء سلولی سلول های سرطان سینه رده MDA-MB-231

## خلاصه

مقدمه: سرطان در بسیاری از جوامع از جمله ایران دومین عامل مرگ و میر بعد از بیماری‌های قلبی عروقی است. یکی از روش‌های سنتی برای کنترل پیشرفت بیماری سرطان سینه شیمی‌درمانی است که اغلب با عوارض شدید همراه می‌باشد. تحقیقات نشان می‌دهد که گیاهان دارویی منبع عالی و قابل اعتماد برای توسعه داروهای جدید ضد سرطان می‌باشند. در مطالعه حاضر اثر اسانس گیاه زینان به تنهایی و همراه با لیزر کم توان بر سلول‌های سرطانی سینه رده MDA-MB-231 بررسی شده است.

روش بررسی: پس از کشت سلول‌های سرطانی سینه رده MDA-MB-231 این سلول‌ها با غلظت‌های مختلف اسانس زینان (صفرا تا ۱۰۰ میکروگرم بر میلی لیتر) به مدت ۲۴ ساعت تیمار شدند و سپس در مععرض تابش لیزر کم توان با طول موج ۶۶۰ نانومتر و انرژی ۳ J/cm<sup>2</sup> به مدت ۹۰ ثانیه قرار گرفتند. اثر اسانس زینان و لیزر کم توان بر بقاء سلولی، تغییرات مورفولوژی سلول‌ها و موقع آپوپتوز به ترتیب با استفاده از تست MTT، میکروسکوپ نوری و میکروسکوپ فلورسانس بررسی گردید.

یافته‌ها: غلظت مؤثرة (IC50) اسانس زینان در ۳۵ µg/ml در سلول‌های سرطانی سینه رده MDA-MB-231 به دست آمد. داده‌های حاصل از تست MTT نشان داد که سلول‌های سرطانی سینه رده MDA-MB-231 در مععرض تابش لیزر کم توان تنها از بین نمی‌روند و همچنین درمان ترکیبی یعنی وقتی ابتدا سلول‌ها با اسانس زینان تیمار و سپس در مععرض لیزر کم توان قرار داده شدند، نسبت به تیمار با اسانس زینان تنها، مرگ و میر بیشتری ایجاد می‌کند. تصاویر حاصل از میکروسکوپ نوری و میکروسکوپ فلورسانس نیز مؤید مرگ و میر سلولی بیشتر در روش ترکیبی تیمار سلول‌ها با اسانس زینان و سپس لیزر کم توان بود.

بحث و نتیجه‌گیری: این مطالعه نشان داد اسانس زینان علاوه بر خواص دارویی متعددی که در سایر مطالعات ذکر شده است، دارای اثرات ضد سرطانی نیز می‌باشد و همچنین درمان ترکیبی متشکل از اسانس زینان و لیزر کم توان باعث افزایش اثرات ضد سرطانی اسانس زینان و کاهش بیشتر بقاء سلول‌های سرطانی سینه رده MDA-MB-231 می‌شود. بررسی اثرات ضد سرطانی اسانس زینان و نیز مواد مؤثرة آن در سایر سلول‌های سرطانی و نیز مدل حیوانی توموری در مطالعات آینده پیشنهاد می‌شود.

واژه‌های کلیدی: سلول‌های سرطانی سینه، اسانس زینان، لیزر کم توان درمانی (LLLT)، آپوپتوز

سپیده ذریعه<sup>۱</sup>

زهرا کیان‌مهر<sup>۱\*</sup>

خاطره خرسندي<sup>۲\*</sup>

۱. گوهه‌بیوشیمی، دانشکده علوم زیستی، دانشگاه

آزاد اسلامی و امدادهای انسان شناسی، تهران، ایران

۲. گروه پژوهشی فنودینامیک، مرکز تحقیقات

لیزر در پژوهش، پژوهشکده یارا، جهاد دانشگاهی

و واحد علوم پزشکی تهران، تهران، ایران

نویسنگان مسئول:

خاطره خرسندي، زهرا کیان‌مهر

پست الکترونیک:

khorsandi.kh@ut.ac.ir

z.kianmehr@ut.ac.ir

۰۲۱-۶۶۴۶۴۸۶۲

شماره تماس:

بسیاری از محققان قرار گرفته است [۶ و ۷]. در مطالعات نشان داده شده است که گیاهان دارویی منع عالی و قابل اعتماد برای توسعه داروهای جدید ضدسرطان می‌باشند. انسان‌ها مخلوطی از ترکیبات روغنی فرار می‌باشند که به عنوان یک متابولیت ثانویه در گیاهان دارویی ساخته می‌شوند. براساس نظریه سازمان استانداردسازی بین‌المللی، انسان‌ها به عنوان محصولات استخراجی از منابع گیاهی یا میوه‌جات با استفاده از روش تقطیر با بخار یا آب در نظر گرفته می‌شوند. انسان‌ها به دلیل ویژگی ضدمیکروبی، ضداسیدانی، ضدالتهابی و ضدسرطان می‌توانند کاربردهای متعددی در زمینه‌های غذایی و دارویی داشته باشند.

گیاه زنیان یا نانخواه با نام علمی *Trachyspermum ammi* L از تیره چتریان (Apiaceae) است و دارای اسمی انگلیسی Carum و Ajowan می‌باشد (شکل ۱). مطالعات فیتوشیمیایی عصاره اتانولی زنیان حضور فلاونوئیدها، آلکالوئیدها، گلیکوزیدها، استروئیدها، کربوهیدرات‌ها، فنل‌ها، تانن‌ها و ترپن‌ها را نشان داده است [۹ و ۱۰]. در مطالعات دارویی مختلف خواص ضدالتهابی [۱۱ و ۱۲]، آنتی‌اسیدان [۱۳-۱۸] و ضدبacterیایی [۱۹ و ۲۰] و ضدآکنه [۲۱] میوه گیاه زنیان تأیید شده است. مطالعه حاضر بر روی بررسی اثرات ضدسرطانی انسان‌زنیان متمرکز شده است.



شکل ۱: دانه‌های گیاه زنیان

اما، از دیگر روش‌هایی که در سال‌های اخیر در زمینه‌های پزشکی مختلف مورد توجه و استفاده قرار گرفته است، لیزر کم توان (LLL, Low Level Laser) است. لیزر کم توان یک نوع خاص از لیزر است که بر روی سیستم‌های بیولوژیکی اثر می‌گذارد [۲۲]. لیزرهای Low Level Laser Therapy پزشکی که در لیزدرمانی (

## ۱. مقدمه

سرطان به معنی رشد، تکثیر و گاهی انتشار غیرطبیعی سلول‌های بدنش است. سرطان به دنبال تقسیم غیرقابل کنترل سلول‌ها به وجود می‌آید که نتیجه اثر عوامل محیطی و اختلالات ژنتیکی است. چهار دسته از ژن‌های کلیدی که در هدایت سلول‌های سرطانی نقش دارند شامل آنکوژن‌ها، ژن‌های مهارکننده توموری، ژن‌های ترمیم‌کننده DNA و ژن‌های مرگ برنامه‌ریزی شده هستند. چنانچه یک جهش ژنتیکی مهم و با معنی در سلول تولید شود و ترمیم نشود، سلول‌های طبیعی از مسیر خود خارج می‌شوند و تحت تأثیر فرماندهی‌های جدید قرار می‌گیرند که به سوی سلول‌های سرطانی شدن پیشرفت می‌کنند [۱].

سرطان پستان بیماری است که در آن سلول‌های بدخیم از بافت سینه منشأ می‌گیرند، به طور نامنظم و فرایندهای تکثیر می‌یابند و بدون این که موجب عکس العمل تدافعی و تهاجمی در سیستم ایمنی بدن شوند، از سیستم ایمنی و دفاعی بدن عبور می‌کنند. سرطان سینه اکثر اوقات به صورت یک توده بدون درد و سفت در قسمت فوقانی و خارجی سینه شروع می‌شود و به طور کلی می‌تواند در هر جایی از سینه ایجاد گردد. خطر ابتلا به سرطان سینه با افزایش سن افزایش می‌یابد به عنوان مثال خطر ابتلا به این بیماری بعد از سن ۴۰ و ۵۰ سالگی بیشتر است. سرطان سینه از شایع‌ترین سرطان‌ها (نرخ بروز ۱/۲ میلیون در سال، شایع‌ترین بدخیمی و ۲۳ درصد تمام سرطان‌ها در زنان سراسر جهان) و پنجمین عامل مرگ و میر ناشی از سرطان در بین زنان ایرانی گزارش شده است [۲]. روش‌های مختلفی برای درمان سرطان سینه وجود دارد که عبارتند از: جراحی، شیمی درمانی، پرتو درمانی، ایمونو درمانی، ژن درمانی و حتی تلفیقی از این روش‌ها. یکی از روش‌هایی که به طور سنتی برای کنترل پیشرفت بیماری سرطان سینه استفاده می‌شود، شیمی درمانی است [۳ و ۴]. شیمی درمانی با وجود داشتن محدودیت‌هایی مانند عدم انتخابی بودن سمیت و هدفمند نبودن داروهای آن، نیازمند بودن به دوزهای بالای دارو برای مبارزه با سلول‌های سرطانی، مقاومت دارویی و عوارض جانبی متعدد، هنوز هم یکی از روش‌های درمانی مؤثر در نبرد با سلول‌های سرطانی به شمار می‌آید [۵].

یکی از راهکارهای مورد توجه پژوهشگران به عنوان جایگزین شیمی درمانی استفاده از ترکیبات استخراج شده از گیاهان است. در سال‌های اخیر نقش ترکیب‌های طبیعی موجود در رژیم غذایی به ویژه فلاونوئیدها در مهار سرطان زایی و درمان سرطان مورد توجه

از آب معطر جدا می‌شود. اسانس و عرق به دست آمده در دمای ۴ درجه سانتی گراد درون ظروف شیشه‌ای کدرنگ نگهداری شد.

#### ۲-۲-۲. آنالیز و شناسایی اجزای انسانس زینیان

برای جداسازی و شناسایی اجزای انسانس زینیان دستگاه گاز کروماتوگرافی با ستون موئین سیلیکا HP-5 (به طول ۳۰ متر، قطر داخلی ۰/۲۵ میلی متر و ضخامت لایه ۰/۲۵ میکرومتر) مجهز به طیف نگار جرمی (GC/MS) مدل 5975C Agilent استفاده شد. درصد نسبی هر یک از ترکیبات با توجه به سطح زیر منحنی هر ترکیب در طیف کروماتوگراف گازی (GC) محاسبه گردید. شاخص‌های بازداری (RI) با توجه به زمان بازداری (RT)-n-آلکان‌های ۸ تا ۲۵ کربنه (C8-C25) به عنوان استاندارد تعیین شد که بعد از اسانس در شرایط مشابه کروماتوگرافی به دستگاه تزریق شدند. شناسایی اجزای اسانس با استفاده از نرم‌افزار دستگاه GC-MS و پارامتر شاخص بازداری و طیف‌های جرمی و مقایسه آن‌ها با ترکیبات استاندارد گزارش شده در کتابخانه‌های Wiley و NIST (کتابخانه‌های Wiley 7n و NIST05a) صورت گرفت.

#### ۲-۲-۳. آماده‌سازی امولسیون زینیان

از آنجا که اسانس به دست آمده محلول در چربی می‌باشد و پایداری کمی دارد، برای سهولت کار از آن امولسیون تهیه شد که محلول در آب می‌باشد. برای تهیه امولسیون پلی سوربات - اسانس روغنی - آب معطر، یک میلی لیتر اسانس به ۱۰۰ میلی لیتر آب معطر اضافه شد. سپس پلی سوربات ۲۰ (۱۰۰ میکروگرم بر میلی لیتر) به مخلوط اسانس و آب معطر اضافه گردید و مخلوط در دمای ۳۰ درجه سانتی گراد به مدت ۲۴ ساعت و سپس در ۴ درجه سانتی گراد به مدت ۴۸ ساعت انکوبه شد. در این زمان امولسیون شیری رنگی تشکیل می‌شود. میزان کل فنل در امولسیون اسانس - عرق با استفاده از واکنش فولین - سیوکالتون و گالیک اسید به عنوان استاندارد تعیین شد [۲۴] این امولسیون شیری رنگ برای انجام آزمایشات مختلف بعدی استفاده شد.

#### ۲-۳. کشت سلول

سلولهای سرطانی سینه رده MDA-MB-231 در محیط کشت DMEM به همراه ۱۰ درصد سرم جنبین گاوی، پنی‌سیلین (۱۰۰ واحد بر میلی لیتر) و استرپتومایسین (۱۰۰ میکروگرم بر میلی لیتر) و CO<sub>2</sub> رطوبت ۹۵ در شرایط ۳۷ درجه سانتی گراد، مقدار ۵ درصد کشت داده شدند.

(LLLT) مورد استفاده قرار می‌گیرند، عموماً در بخش نور مرئی (قرمز) و نزدیک مادون قرمز (NIR) طیف نور ۶۰۰ تا ۱۰۷۰ نانومتر عمل می‌کنند. انتخاب طول موج لیزری به شدت به هدف زیستی وابسته است. به طور کلی، لیزرهایی که در محدوده ۶۰۰-۷۰۰ نانومتر عمل می‌کنند، برای درمان بافت‌های سطحی استفاده می‌شوند. به نظر می‌رسد اثرات درمانی این روش توسط واکنش‌های فتوشیمیایی که باعث تغییر نفوذپذیری غشاء سلولی و به دنبال آن افزایش ساخته شدن mRNA و پروتیفاراسیون سلولی می‌شود، حاصل می‌گردد. این لیزرهای با بافت وارد واکنش می‌گردند و بدون ایجاد حرارت باعث تحریک یا مهار در سلول می‌شوند. واکنش‌های اولیه لیزرهای کم‌توان در سطح سلولی براساس جذب انرژی نور لیزر توسط مولکول‌های زنجیره تنفسی آغاز می‌شود و سیتوکروم C-آکسیداز یک کروموفور اصلی در پاسخ به لیزر کم‌توان است. تابش نور لیزر کم‌توان بر روی میتوکندری‌های ایزوبلشده افزایش پتانسیل الکتروشیمیایی پروتون، افزایش سنتز NADH، سنتز RNA و پروتئین، افزایش مصرف اکسیژن، افزایش پتانسیل غشای میتوکندریایی و در نهایت افزایش سنتز ATP را نشان می‌دهد [۲۳]. با توجه به اهمیت ترکیبات گیاهی در درمان سرطان و همچنین شناخت بهتر اثر لیزر کم‌توان بر سلولهای سرطانی در این مطالعه اثر اسانس زینیان به تهایی و نیز در حضور لیزر کم‌توان بر سلولهای سرطان سینه انسانی رده MDA-MB-231 بررسی شده است.

## ۲. روش بررسی

#### ۲-۱. مواد و وسایل آزمایش

سلولهای سرطانی سینه رده MDA-MB-231 از مراکز ذخایر ژنتیکی ایران خریداری شدند. محیط کشت DMEM، سرم جنبین (FBS) و تریپسین از شرکت Gibco، پودر MTT، اتیدیومبروماید و آکریدین اورنج از شرکت Sigma و بافر PBS و اتانول ۹۶ درصد از شرکت مرک خریداری شدند.

#### ۲-۲. آماده‌سازی اسانس زینیان

دانه گیاه زینیان (Trachyspermum ammi) از عطاری خریداری شد. اسانس زینیان از ۱۰۰ گرم دانه خشک پودرشده با روش تقطیر به وسیله دستگاه کلونجر (Clevenger) آماده شد. حاصل تقطیر، اسانس روغنی و آب معطر (عرق) است که اسانس روغنی به طور معمول در بالای آب معطر قرار می‌گیرد و از طریق یک قیف دکانتور

يعنى غلظتى از اسانس زينيان که در حضور آن ۵۰ درصد رشد سلول‌ها در مقايسه با كنترل مهار شده باشد، با رسم نموادر درصد بقاء سلولى عليه غلظت‌های مختلف اسانس زينيان محاسبه شد.

#### ٢-٦. بررسی اثر درمان تركيبي اسانس زينيان و تابش ليزر کم‌تونان بر روی سلول‌های سرطاني سينه

در اين آزمایش ۲۴ ساعت بعد از کاشت سلولى در دو پليت ۹۶ خانه، سلول‌ها با غلظت‌های مختلف اسانس زينيان (صفر تا ۱۰۰ ميكروگرم بر ميلی‌ليتر به صورت سه بار تكرار) به مدت ۲۴ ساعت تيمار شدند. يك پليت به عنوان كنترل (تاريکي) در نظر گرفته شد و پليت ديگر تحت تابش ليزر کم‌تونان با طول موج ۶۶۰ نانومتر و انرژي  $J/cm^2$  ۳ به مدت ۹۰ ثانية قرار گرفت و سپس مجدداً در انکوباتور قرار داده شد. جهت اندازه‌گيری بقاء سلولى در هر دو پليت، تست MTT انجام شد.

٢-٧. مشاهده تغييرات مورفولوژيک سلول‌ها با ميكروسكوب نوري پس از تيمار سلول‌های سرطاني سينه رده 231- MDA-MB با اسانس زينيان به تنهائي يا همراه با تابش ليزر کم‌تونان مانند آزمایش فوق، تغييرات مورفولوژيک سلول‌ها با ميكروسكوب نوري اينورت و بزرگ‌نمایي 40X ۴۰ مورد مطالعه قرار گرفت.

٢-٨. بررسی وقوع آپوپتوز يا ميكروسكوب فلورسانس (رنگ آميزى دوگانه آيديومبرومايد و آكريدين اورنج)

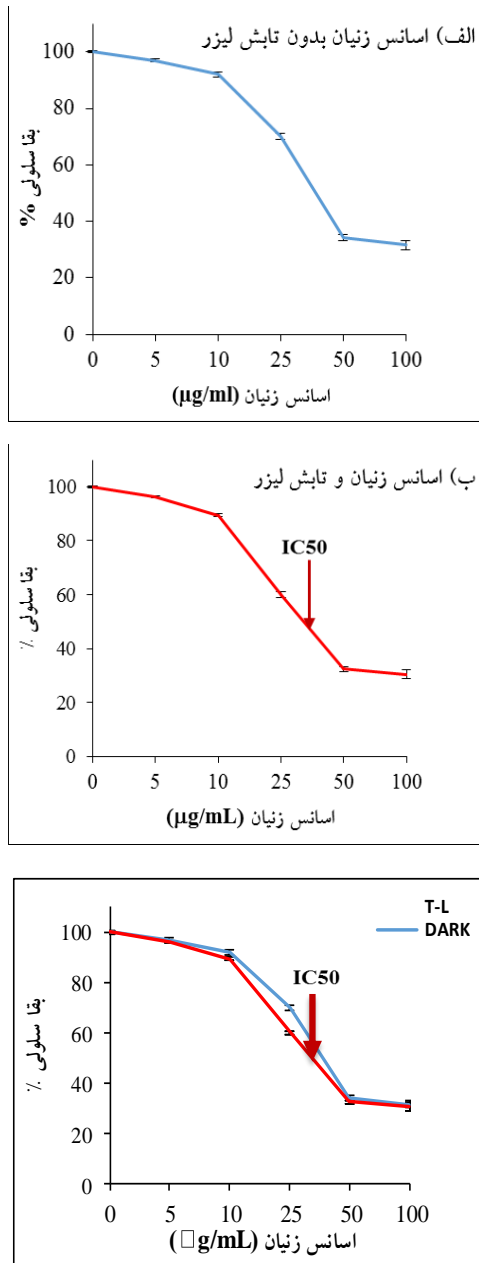
در اين تست از رنگ‌های فلورسانس آكريدين اورنج و آيديومبرومايد استفاده می‌شود. آكريدين اورنج پس از جذب وارد DNA سلول زنده می‌شود و در زير ميكروسكوب يك نماي سبز رنگ به كروماتين سلول می‌دهد. آيديومبرومايد فقط وارد DNA سلول مرده می‌شود و در زير ميكروسكوب فلورسانس به كروماتين سلول مرده رنگ نارنجي می‌دهد. در نتيجه با استفاده از اين روش سلول‌های زنده سبز رنگ و سلول‌های مرده به رنگ نارنجي تاقهه‌های دиде می‌شوند.

براي اين رنگ آميزى ۱۰۰ ميكروگرم در ميلی‌ليتر آكريدين اورنج را به همراه ۱۰۰ ميكروگرم در ميلی‌ليتر آيديومبرومايد به نسبت مساوي در ۱ ميلی‌ليتر محلول بافر سالين حل شدند و سپس ۵ ميكروليتر از محلول فوق با ۲۵ ميكروليتر از سوسپانسيون سلولی حاصل از سلول‌های تيمار شده در شرایط مختلف محلوط کرده و از اين محلوط ۱۰ ميكروليتر روی لام تمیز ریخته و روی آن با لام پوشانده شد. سپس با عدسی 40X ميكروسكوب فلورسانس، سلول‌ها از نظر زنده بودن و غيرزنده بودن بررسی شدند.

**٤-٢. تست MTT و اندازه‌گيری بقاء سلول**  
 سنجش بقاء سلولی به روش MTT پرکاربردترین روش بررسی تکثیر و بقاء سلولی محسوب می‌شود. تست MTT يك روش رنگ‌سنجدی برای ارزیابی فعالیت متابولیکی سلول می‌تنی بر فعالیت میتوکندری می‌باشد. آنزیم‌های اکسیدو-دیکتاز میتوکندریانی وابسته به NAD(P)H تحت شرایط تعريف شده تعداد سلول‌های زنده را منعکس می‌کنند. اين آنزیم‌ها باعث احیا شدن و شکسته شدن کريستال‌های زردرنگ ترازوولیوم با فرمول شیمیائی -4-(4,5-dimethylthiazol-2-yl)-2,5-diphenyltetrazolium bromide به کريستال‌های بنشش - آبی رنگ نامحلول و رسوبی (DMSO) فورمازان می‌شوند. ايزوپروپانول يا دی‌متیل سولفواکسید (DMSO) باعث حل شدن رسوب کروموفور فورمازان می‌شوند. شدت رنگ تولیدشده در طول موج ۵۴۰ تا ۶۳۰ نانومتر اندازه‌گيری می‌شود و به طور مستقيم با تعداد سلول‌های زنده متناسب است. سلول‌های مرده چنین توانايی را ندارند و بنابر اين سيگنالی را نشان نمي‌دهند. در اين روش تمام مراحل آزمایش از ابتدای کشت سلولی تا قرائت نتایج با فوتومتر در يك ميكروپليت انجام می‌شوند. لذا، تکرارپذيری، دقت و حساسیت آزمایش بالا است.

برای انجام آزمایش MTT بعد از اتمام زمان انکوباسیون سلول‌های تيمار شده، ۵ ميكروليتر از محیط روی سلول‌ها دور ریخته شد ۵ ميكروليتر از محلول استوک MTT (۵ ميلی‌گرم در ميلی‌ليتر بافر نمکی فسفات) به هر چاهک اضافه گردید. پس از چهار ساعت نگهداری در انکوباتور ۳۷ درجه، به دنبال خروج محیط کشت رویی، واکنش با اضافه کردن ۱۰۰ ميكروليتر DMSO متوقف گردید و میزان جذب، توسط دستگاه الایزاریدر در طول موج ۵۷۰ نانومتر اندازه‌گيری شد. نتایج حاصله به صورت درصد مقادیر حاصل از کنترل بیان گردید.

**٥-٢. بررسی اثر اسانس زينيان به تنهائي و بدون تابش نور ليزر (تاريکي) بر روی سلول‌های سرطاني سينه**  
 برای بررسی اثر اسانس زينيان بر سلول‌های سرطاني سينه رده MDA-MB-231 در غياب تابش نور ليزر در هر چاهک از پليت‌های کشت سلولی ۹۶ خانه‌ای، ۱۰۰ ميكروليتر از سوسپانسيون سلولی حاوي  $1 \times 10^4$  سلول سرطاني کشت داده شد و پليت‌ها در انکوباتور ۳۷ درجه سانتي‌گراد و ۵ درصد CO<sub>2</sub> قرار گرفتند. ۲۴ ساعت بعد از کشت، سلول‌ها با غلظت‌های مختلف از اسانس زينيان شامل صفر تا ۱۰۰ ميكروگرم بر ميلی‌ليتر تيمار و به مدت ۲۴ ساعت در تاريکي انکوبه شدند. سپس ميزان مرگ و مير سلولی با استفاده از تست MTT بررسی شد. IC50



شکل ۲: (الف) اثر تیمار با غلظت‌های مختلف اسانس زینیان به تنهایی بر سلول‌های سرطانی سینه در تاریکی و (ب) اثر تیمار با غلظت‌های مختلف اسانس زینیان و تابش لیزر کمتوان با طول موج ۶۶۰ نانومتر و انرژی  $۳\text{ J/cm}^2$  بر سلول‌های سرطانی سینه. نتایج به صورت میانگین  $(n = 3)$  ± SD داده شده است. \* به معنای  $<0.05$  P و معنی‌دار نسبت به گروه کنترل (بدون تیمار) تلقی می‌شود.

## ۲-۹. آنالیز آماری

تمامی داده‌های به دست آمده از این مطالعه حاصل سه بار تکرار از سه آزمایش مستقل بودند و داده‌ها با Microsoft Excel 2019 آماری Student-t-test مورد تجزیه و تحلیل آماری قرار گرفتند و داده‌هایی با ارزش  $P < 0.05$  از نظر آماری معنی‌دار تلقی شدند.

## ۳- یافته‌ها

### ۱- نتایج آنالیز اسانس زینیان

اسانس روغنی متمایل به زرد دانه زینیان با استفاده از دستگاه کلونجر و روش تقطیر (hydro-distillation) آماده شد. نتایج آنالیز ترکیب شیمیایی اسانس زینیان توسط GC-MS حاکی از وجود ۲۳ ترکیب در اسانس زینیان بود که از این میان، اجزای اصلی تشکیل‌دهنده شامل تیمول ( $40/20$  درصد)، ۷-ترپین (۳۸/۶۸ درصد) و پاراسین (۱۵/۸۴ درصد) بودند.

### ۲- بررسی تأثیر اسانس زینیان بر بقاء سلول‌های سرطانی سینه در تاریکی

نتایج حاصل از این آزمایش که بررسی اثر اسانس زینیان بر سلول‌های سرطانی رده MDA-MB-231 در تاریکی می‌باشد، نشان داد که در غلظت‌های  $۰, ۵, ۱۰, ۲۵, ۵۰$  و  $۱۰۰$  میکروگرم بر لیتر از اسانس زینیان در تاریکی درصد بقاء سلول‌ها به ترتیب  $100, 97, 92, 70, 34/3$  و  $31/6$  درصد کاهش می‌یابد که بیانگر این است که با افزایش غلظت اسانس زینیان درصد بقاء سلول کاهش می‌یابد (شکل ۲ الف). غلظت  $35$  میکروگرم بر میلی‌لیتر به دست آمد.

### ۳- بررسی تأثیر تیمار با اسانس زینیان سپس تابش لیزر کمتوان بر سلول‌های سرطانی سینه

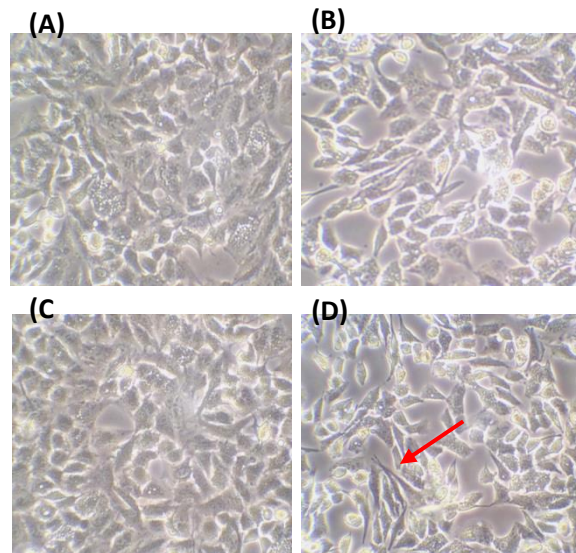
نتایج حاصل از این آزمایش نشان داد که درصد بقاء سلول‌ها پس از تیمار با غلظت‌های  $۰, ۵, ۱۰, ۲۵, ۵۰$  و  $۱۰۰$  میکروگرم بر لیتر از اسانس زینیان و سپس تابش لیزر کمتوان با طول موج ۶۶۰ نانومتر به مدت  $۹0$  ثانیه، به ترتیب  $100, 96/2, 89/4, 96/4, 60, 32/43$  و  $30/5$  درصد کاهش می‌یابد (شکل ۲ ب). بیانگر این است که با افزایش غلظت اسانس زینیان و تابش لیزر کمتوان درصد بقاء سلول‌های سرطانی کاهش می‌یابد. در نمودار سوم مقایسه بین دو حالت تاریکی و اول تیمار با اسانس زینیان و سپس تابش لیزر کمتوان نشان داده است.

۵-۳. بررسی وقوع آپوپتوز با میکروسکوپ فلورسانس و رنگ آمیزی دوگانه اتیدیومبروماید و اکریدین اورنج به منظور بررسی القای آپوپتوز در سلول‌های سرطانی سینه رده MDA-MB-231 تیمارشده با انسانس زنیان، لیزر کم‌توان و درمان ترکیبی با انسانس زنیان و لیزر کم‌توان از روش رنگ آمیزی دوگانه اکریدین اورنج - اتیدیومبروماید استفاده شد. اکریدین اورنج توسط سلول‌های زنده و نرمال که غشای آنها سالم است، جذب می‌شود و هنگامی که به DNA دو رشته وصل می‌شود، رنگ فلورسانس سبز را ساطع می‌کند. اتیدیومبروماید توسط سلول‌هایی که در آنها آپوپتوز رخ داده و غشای آنها آسیب دیده است، جذب می‌شود و هنگامی که به قطعات متراکم DNA یا اجسام آپوپتوزی وصل می‌شود، رنگ فلورسانس نارنجی - قرمز را ساطع می‌کند [۲۵].

شکل ۴ تصاویر فلورسانست مربوط به سلول‌های سرطانی سینه رده MDA-MB-231 در حالات مختلف از جمله در عدم حضور انسانس زنیان به عنوان کنترل (A)، تیمارشده با غلظت ۳۵ میکروگرم بر میلی لیتر انسانس زنیان در تاریکی (B)، تیمارشده با تابش لیزر کم‌توان به مدت ۹۰ ثانیه (C) و تیمارشده با اکریدین اورنج - اتیدیومبروماید نشان می‌دهد. همان‌طور که شکل ۴-A و C نشان داده است، هیچ‌گونه خصوصیات آپوپتوزی قابل توجهی در سلول‌های کنترل متفاوت مشاهده نشد در حالی که سلول‌های MDA-MB-231 تیمارشده با انسانس زنیان به تهایی و نیز انسانس زنیان همراه با تابش لیزر کم‌توان، آپوپتوز (پیکان قرمز) را نشان می‌دهند (شکل‌های ۴-B و ۴-D). با این حال، تعداد سلول‌های آپوپتوزی در سلول‌های تیمارشده با انسانس زنیان همراه با تابش لیزر کم‌توان بیشتر از تعداد سلول‌های آپوپتوزی القاءشده توسط انسانس زنیان به تهایی بود.

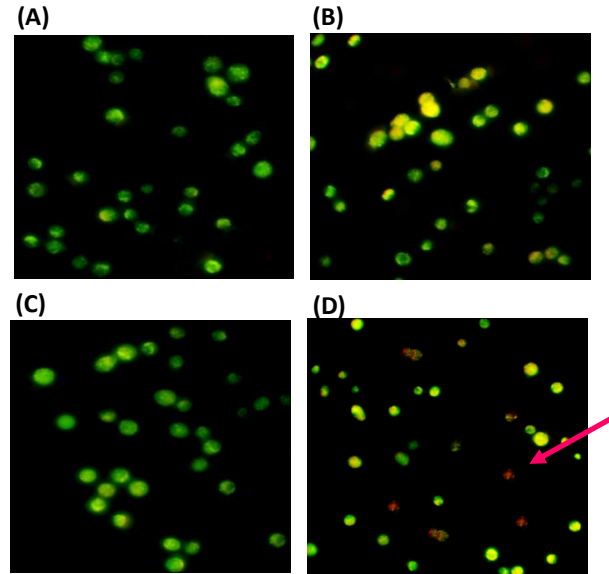
۴-۳. بررسی اثر انسانس زنیان و لیزر کم‌توان بر مورفولوژی سلول‌های سرطانی سینه با استفاده از میکروسکوپ نوری مورفولوژی سلول‌های سرطانی سینه در حالات مختلف از جمله غلظت صفر و تاریکی (شکل ۳، قسمت A) و غلظت ۳۵ میکروگرم بر میلی لیتر از انسانس زنیان و تاریکی (شکل ۳، قسمت B) و تابش لیزر کم‌توان به مدت ۹۰ ثانیه و انرژی ۳ J/cm<sup>2</sup> (شکل ۳، قسمت C) و تیمار سلول‌ها با غلظت ۳۵ میکروگرم بر میلی لیتر انسانس زنیان و تابش لیزر کم‌توان با انرژی ۳ J/cm<sup>2</sup> به مدت ۲۴ ساعت (شکل ۳، قسمت D) با میکروسکوپ اینورت نوری و بزرگنمایی ۴۰X مورد مطالعه قرار گرفتند.

مقایسه تصاویر به دست آمده بیانگر این است که بیشترین تغییر مورفولوژی در سلول‌های سرطانی سینه رده MDA-MB-231 در حالت تیمار سلول‌ها با غلظت ۳۵ میکروگرم بر میلی لیتر انسانس زنیان و تابش لیزر کم‌توان با انرژی ۳ J/cm<sup>2</sup> (شکل ۳، قسمت D) اتفاق افتاده است به صورتی که سلول‌ها از حالت دوکی شکل و چسبنده به حالت گرد و از کف پلیت جدا شده تغییر شکل داده‌اند



شکل ۳: مورفولوژی سلول‌های سرطانی سینه رده MDA-MB-231 در تاریکی و عدم حضور انسانس زنیان (A) و تیمار با ۳۵ میکروگرم بر میلی لیتر از انسانس زنیان در تاریکی (B)، تابش لیزر کم‌توان با انرژی ۳ J/cm<sup>2</sup> به مدت ۹۰ ثانیه (C) و درمان ترکیبی، تیمار سلول‌ها با غلظت ۳۵ میکروگرم بر میلی لیتر و سپس تابش لیزر کم‌توان با انرژی ۳ J/cm<sup>2</sup> به مدت ۹۰ ثانیه (D)

زنیان (*Trachyspermum ammi*), یکی از گیاهان دارویی مهم است که دارای خواص دارویی بشماری از قبیل کاهش دهنده کلسترول خون، مؤثر بر فعالیت آنزیم‌های هضم کننده پانکراس و روده کوچک، ضدغوفونت‌های قارچی، پاککننده جریان خون، آرام‌بخش و درمان درد کلیه می‌باشد [۱۵، ۱۹ و ۲۰]. هرچند مطالعات متعددی در مورد شناسایی اجزای تشکیل‌دهنده انسانس زینیان و نیز بررسی خواص ضدمیکروبی، ضدالتهابی و آنتیاکسیدانی انسانس زینیان انجام شده است، اما مطالعات اندکی در مورد بررسی اثرات ضدسرطانی محصولات بر پایه این گیاه دارویی ارزشمند وجود دارد. از جمله این مطالعات می‌توان به این موارد اشاره کرد: Dhivya و همکاران، اثرات سمیت عصاره آبی بذر خشک زینیان در سلولهای سرطان پستان را بررسی کردند. نتایج حاصل از این مطالعه نشان داد که پرولیفراسیون سلولی وابسته به دوز این عصاره در غلظت‌های بالاتر از ۲۰۰ میکروگرم بر میلی‌لیتر می‌باشد. در صورتی که در غلظت‌های زیر ۲۰۰ میکروگرم بر میلی‌لیتر اثر مهارکننده‌گی روزی روی سلول‌ها دیده شد. این مطالعه نشان داد که عصاره آبی بذر خشک زینیان سمیت نسبی و کمی، روی سلولهای سرطانی دارد و حتی در برخی از غلظت‌ها باعث پرولیفراسیون و تکثیر سلولهای سرطانی می‌شود [۲۸]. Vitali و همکاران اثرات بیولوژیکی متوجه انسانس دانه زینیان را بررسی کردند و نشان دادند که تیمول (۷۶/۴٪)، پاراسیمین (۱۷/۶٪) و تری‌پن (۱۱/۳٪) اجزای اصلی تشکیل‌دهنده انسانس زینیان هستند و نیز انسانس زینیان دارای فعالیت ضدمیکروبی و آنتی‌اکسیدانی می‌باشد. همچنین نتایج تست MTT به دنبال تیمار با غلظت‌های مختلف انسانس زینیان (۰/۰ تا ۲۰۰ میکروگرم بر میلی‌لیتر) به مدت ۷۲ ساعت در سه رده سلول سرطانی ملانوما (A375)، آدنوکارسینومای پستان (MDA-MB 231) و سرطان روده بزرگ (HCT116) نشان داد انسانس زینیان دارای اثرات ضدسرطانی است و IC<sub>50</sub> آن به ترتیب ۹۳/۱۶، ۵۲/۶۶ و ۹/۶ میکروگرم بر میلی‌لیتر می‌باشد [۲۹]. از سویی دیگر طبق پژوهش‌های قبلی مشخص شده است که لیزر کم‌توان به عنوان یک درمان چندمنظوره ایمن و مؤثر به طور بالقوه برای استفاده با سایر درمان‌ها یا به عنوان یک روش مستقل در درمان سرطان و دیگر بیماری‌های پیچیده می‌تواند مورد استفاده قرار گیرد. لیزر به واسطه تأثیر بر روی کروموفورهای موجود در میتوکندری،



شکل ۴: تصاویر میکروسکوب فلورسانس از سلولهای سرطانی سینه رده MDA-MB-231 (A) عدم حضور انسانس زینیان در تاریکی، (B) حضور ۳۵ میکروگرم بر میلی‌لیتر از انسانس زینیان در تاریکی، (C) قابش لیزر کم‌توان و (D) حضور ۳۵ میکروگرم بر میلی‌لیتر انسانس زینیان و سپس تیمار با لیزر کم‌توان

#### ۴- بحث و نتیجه‌گیری

با بالارفتن پایدار نرخ رشد و پیری، آمار سرطان به طور پیوسته در حال افزایش است و امروزه یکی از مهم‌ترین عوامل مرگ و میر در جهان مربوط به همین بیماری است [۲۶]. سرطان سینه، دومین علت رایج مرگ ناشی از سرطان است. سرطان سینه یک بیماری به شدت ناهمگن است که در اثر تأثیر متقابل عوامل‌های خطر و راثی و محیطی ایجاد می‌شود و به تجمع پیشرونده تغییرات ژنتیکی و اپی‌ژنتیکی در سلولهای سرطان سینه منجر می‌شود. اگرچه شواهد اپیدمیولوژیک بر وجود عوامل‌های خطر ویژه (مانند سن، چاقی، مصرف الکل و برخورد با استروژن در طول زندگی) تأکید دارد، وجود سابقه خانوادگی سرطان سینه قوی‌ترین عامل خطر برای این بیماری به شمار می‌آید [۲۷].

فرآورده‌های بر پایه گیاهان، دارای پتانسیل بالایی برای ساخت ترکیبات دارویی می‌باشند. بسیاری از داروهای ضدسرطانی ساخته شده از جمله تاکسان‌ها، وینکا آلکالوئیدها، پودوفیلوتوکسین‌ها و کامپتوتسین‌ها و ... از ترکیبات موجود در گیاهان ساخته شده‌اند و در درمان سرطان‌های مختلف متاستاتیک و غیرمتاستاتیک مورد استفاده قرار می‌گیرند.

تشکیل دهنده انسانس مورد استفاده باشد. آب و هوا و ارتفاع (تنوع جغرافیایی)، گونه، تفاوت مرحله‌رشد، زمان جمع‌آوری (تنوع فصلی)، روند آماده‌سازی انسانس و سایر عوامل ممکن است در ترکیب نهایی انسانس و تفاوت درصد اجزای تشکیل دهنده انسانس تأثیر بگذارند. بنابراین، انسانس به دست آمده از گیاه زینان که در مناطق مختلف کشورها کشت می‌شود، از نظر رنگ و طعم، ویسکوزیته و ترکیبات شیمیایی متفاوت می‌باشد.

همچنین پیش‌تیمار سلول‌های MDA-MB-231 با غلظت مشخصی از انسانس زینان و سپس تیمار این سلول‌ها با لیزر کم‌توان، نسبت به حضور انسانس زینان به تهایی (تاریکی) بقاء و رشد سلول‌های سرطانی سینه را بیشتر کاهش داده است. بررسی تغییرات مورفولوژی با میکروسکوپ نوری و بررسی القای آپوپتوز با میکروسکوپ فلورسانس در حالات مختلف آزمایش، مؤید کاهش بیشتر بقای سلولی در حالت تیمار با انسانس زینان به همراه لیزر کم‌توان بود.

در مطالعه ما نیز مطابق با هر دو مطالعه کیان‌مهر و همکاران [۳۰] و خرسندي و همکاران [۳۱] مشخص شد که هرچند لیزر کم‌توان به تهایی قادر به از بین بردن سلول‌های سرطانی نیست، اما استفاده از لیزر کم‌توان می‌تواند به نوعی نفوذپذیری سلول‌های سرطانی را نسبت به داروی ضدسرطان بهبود بخشد و درنتیجه اثر ضدسرطانی آن افزایش باید.

در مجموع نتایج مطالعه حاضر حاکی از اثر مثبت لیزر کم‌توان (انرژی دانسیتۀ کم) در بهبود نسبی اثرات ضدسرطانی انسانس زینان (در غلظت کم  $IC50 = 35\mu\text{g}/\text{ml}$ ) می‌باشد اما، برای قضایا بهتر در مورد اثر لیزر کم‌توان در افزایش اثرات ضدسرطانی انسانس زینان که ترکیبی از مواد مؤثره مختلف می‌باشد، می‌توان پیشنهاد داد که در رده‌های مختلف سلول‌های سرطانی اثر درمان ترکیبی انسانس زینان با لیزر کم‌توان و نیز اثر تک‌تک اجزای اصلی تشکیل دهنده انسانس زینان به تهایی و همراه با لیزر کم‌توان و همچنین اثر انسانس بازسازی شده (ترکیب اجزای اصلی در آزمایشگاه با همان درصد موجود در انسانس طبیعی) بررسی شود.

بنابراین به نظر می‌رسد در صورت بررسی اثرات ضدسرطانی آن‌هادر آزمایشات بیشتر احتمالاً قابلیت کاربرد در موارد بالینی را خواهد داشت.

### تقدیر و تشکر

نویسنده‌گان از تمامی افرادی که در انجام این پژوهش کمک کردند، تشکر و قدردانی می‌نمایند.

بر سلول اثر می‌گذارد و محرك مکانیسم‌های واکنشی متعاقب در سلول می‌گردد و یا به واسطه تاثیر بر نفوذپذیری غشای سلولی منجر به تغییر در عکس العمل سلول در مقابل یک تیمار بخصوص می‌گردد.

با توجه به توضیحات فوق، مطالعه حاضر با هدف بررسی اثرات ضدسرطانی انسانس زینان به تهایی و نیز همراه با لیزر کم‌توان طرح ریزی شد برای یافتن پاسخ این سؤال که آیا استفاده از لیزر کم‌توان موجب بهبود توانایی ضدسرطانی انسانس زینان می‌شود؟ چه آنکه نتایج مطالعات مختلفی که در آن‌ها اثر درمان ترکیبی مشکل از یک ماده ضدسرطان و لیزر کم‌توان بررسی شده است، حاکی از اثر مثبت لیزر کم‌توان در پایین آوردن دوز مؤثر ماده ضد سرطان می‌باشد از جمله این مطالعات عبارتند از:

در مطالعه کیان‌مهر و همکاران اثر پاراکوماریک اسید به عنوان ترکیب فنولی در حضور لیزر کم‌توان بر سلول‌های سرطانی ملانومای انسانی رده A375 بررسی گردید. نتایج حاصل نشان داد که بقاء سلول‌های سرطانی نسبت به پاراکوماریک اسید رفتار وابسته به دوز نشان می‌دهد. همچنین در روش پیش‌تیمار سلول‌های A375 با لیزر کم‌توان و سپس تیمار سلول‌ها با پاراکوماریک اسید، بقاء و رشد سلول‌های سرطانی نسبت به گروه تاریکی بیشتر کاهش می‌یابد [۳۰]. خرسندي و همکاران اثر گالیک اسید به عنوان ترکیب فنولی در حضور لیزر کم‌توان بر سلول‌های سرطانی سینه انسانی رده MDA- MB-231 و سلول‌های سرطانی ملانومای انسانی رده A375 را بررسی کردند. نتایج حاصل از این مطالعه نشان می‌دهد که بقاء سلول‌های MDA-MB-231 و A375 در حضور گالیک اسید به صورت وابسته به دوز کاهش می‌یابد. پیش‌تیمار سلول‌های MDA- MB-231 و A375 با لیزر کم‌توان و سپس تیمار با گالیک اسید موجب کاهش چشمگیر بقاء و رشد هر دو رده سلول‌های سرطانی نسبت به تیمار با گالیک اسید به تهایی می‌شود [۳۱].

نتایج مطالعه حاضر نشان داد که اجزای اصلی تشکیل دهنده انسانس دانه زینان شامل تیمول (۴۰/۲۵ درصد)، ۷-ترپین (۳۸/۶۸ درصد) و پاراسیمن (۱۵/۸۴ درصد) می‌باشند. بقای سلول‌های سرطانی سینه انسانی رده MDA-MB-231 در اثر تیمار با انسانس زینان در یک رفتار وابسته به دوز کاهش می‌یابد و دوز مؤثره (IC50) انسانس زینان ۳۵ میکروگرم بر میلی‌لیتر می‌باشد. یعنی در مقایسه با مطالعه Vitali و همکاران که دوز مؤثره انسانس زینان در سلول‌های MDA-MB-231 را ۶۶/۵۲ میکروگرم بر میلی‌لیتر گزارش کردند، تقریباً نصف می‌باشد که ممکن است ناشی از تفاوت درصد اجزای

## References:

1. Siegel RL, Miller KD, Jemal A. Cancer statistics, 2020, CA. Cancer J. Clin. 2020; 70: 7–30. doi:10.3322/caac.21590.
2. Waks AG, Winer EP. Breast Cancer Treatment, JAMA - J. Am. Med. Assoc. 2019; 321: 316. doi:10.1001/jama.2018; 20751.
3. Fisusi FA, Akala EO. Drug Combinations in Breast Cancer Therapy, Pharm. Nanotechnol. 2019; 7: 3–23. doi:10.2174/2211738507666190122111224.
4. Zeng ZJ, Li JH, Zhang YJ, Zhao ST. Optimal combination of radiotherapy and endocrine drugs in breast cancer treatment, Cancer/Radiothérapie. 2013; 17: 208–14. doi:<http://dx.doi.org/10.1016/j.canrad.2013.01.014>.
5. Effects of chemotherapy and hormonal therapy for early breast cancer on recurrence and 15-year survival: an overview of the randomised trials, Lancet. 2005; 365: 1687–717. doi:10.1016/S0140-6736(05)66544-0.
6. Pandey KB, Rizvi SI. Plant polyphenols as dietary antioxidants in human health and disease, Oxid. Med. Cell. Longev. 2009; 2: 270–8. <http://www.ncbi.nlm.nih.gov/pmc/articles/PMC2835915/>.
7. Yang CS, Landau JM, Huang MT, Newmark HL. INHIBITION OF CARCINOGENESIS BY DIETARY POLYPHENOLIC COMPOUNDS, Annu. Rev. Nutr. 2001; 21: 381–406. doi:10.1146/annurev.nutr.21.1.381.
8. Bairwa R, Rajawat B, Sodha R. Trachyspermum ammi, Pharmacogn. Rev. 2012; 6: 56. doi:10.4103/0973-7847.95871.
9. Dubey S, Kashyap P. Trachyspermum ammi: A Review on its Multidimensional Uses in Indian Folklore Medicines, Res. J. Med. Plant. 2015; 9: 368–74. doi:10.3923/rjmp.2015.368.374.
10. Thangam C, Dhananjayan R. Antiinflammatory potential of the seeds of Carum copticum Linn, Indian J. Pharmacol. 2003; 35: 388–91.
11. Umar S, Asif M, Sajad M, Ansari MM, Hussain U, Ahmad W. Anti-inflammatory and antioxidant activity of Trachyspermum ammi seeds in collagen induced arthritis in rats, Int J Drug Dev Res. 2012; 4: 210–9.
12. Antioxidant Activity of Essential Oil Extracted by SC-CO<sub>2</sub> from Seeds of Trachyspermum ammi, Medicines. 2017; 4: 53. doi:10.3390/medicines 4030053.
13. Chatterjee S, Goswami N, Kothari N. Evaluation of antioxidant activity of essential oil from Ajwain (Trachyspermum ammi) seeds, Int. J. Green Pharm. 2013; 7: 140. doi:10.4103/0973-8258.116396.
14. Bajpai VK, Agrawal P. Studies on Phytochemicals, Antioxidant, Free Radical Scavenging and Lipid Peroxidation Inhibitory effects of Trachyspermum ammi seeds, Indian J. Pharm. Educ. Res. 2015; 49: 58–65. doi:10.5530/ijper.49.1.8.
15. Ranjbaran A, Kavoosi G, Mojallal-Tabatabaei Z, Ardestani SK. The antioxidant activity of Trachyspermum ammi essential oil and thymol in murine macrophages, Biocatal. Agric. Biotechnol. 2019; 20: 101220. doi:10.1016/j.bcab.2019.101220.
16. Saxena SN, Agarwal D, Saxena R, Rathore SS. Analysis of anti-oxidant properties of ajwain (Trachyspermum ammi L) seed extract, Int J Seed Spices. 2012; 2: 550–5.
17. Prashanth MK, Revanasiddappa HD, Rai KML, Raveesha KA, Jayalakshmi B. Antioxidant and antibacterial activity of ajwain seed extract against antibiotic resistant bacteria and activity enhancement by the addition of metal salts, J. Pharm. Res. 2012; 5: 1952–6.
18. Chatterjee S, Goswami N, Bhatnagar P. Estimation of Phenolic Components and in vitro Antioxidant Activity of Fennel (Foeniculum vulgare) and Ajwain (Trachyspermum ammi) seeds, Adv Biores. 2012; 3: 109–18.
19. Sharifi Mood B, Shafeqhat M, Metanat M, Saeidi S, Sepehri N. The Inhibitory Effect of Ajowan Essential Oil on Bacterial Growth, Int. J. Infect. 2014; 1. doi:10.17795/iji-19394.
20. Manayi A, Vazirian M, Omidpanah S, Hosseinkhani F, Hasseli A. Chemical composition and antibacterial activity of essential oil of Trachyspermum ammi, Planta Med. 2014; 80. doi:10.1055/s-0034-1394937.
21. Talebi Z, Kord Afshari G, Ahmad Nasrollahi S, Firooz A, Ghovvat M, Samadi A. Potential of Trachyspermum ammi (ajwain) gel for treatment of facial acne vulgaris: a pilot study with skin biophysical profile assessment and red fluorescence photography, Res. J. Pharmacogn. 2020; 7: 61–9.

22. Hamblin MR. Photobiomodulation or low-level laser therapy, *J. Biophotonics.* 2016; 9: 1122–4. doi:10.1002/jbio.201670113.
23. Chung H, Dai T, Sharma SK, Huang YY, Carroll JD, Hamblin MR. The Nuts and Bolts of Low-level Laser (Light) Therapy, *Ann. Biomed. Eng.* 2012; 40: 516–33. doi:10.1007/s10439-011-0454-7.
24. Ainsworth EA, Gillespie KM. Estimation of total phenolic content and other oxidation substrates in plant tissues using Folin–Ciocalteu reagent, *Nat. Protoc.* 2007; 2: 875–7. doi:10.1038/nprot.2007.102.
25. Wu X. Dual AO/EB Staining to Detect Apoptosis in Osteosarcoma Cells Compared with Flow Cytometry, *Med. Sci. Monit. Basic Res.* 2015; 21: 15–20. doi:10.12659/MSMBR.893327.
26. Lee KW, Bode AM, Dong Z. Molecular targets of phytochemicals for cancer prevention, *Nat. Rev. Cancer.* 2011; 11: 211–8. doi:10.1038/nrc3017.
27. Wang C, Kar S, Lai X, Cai W, Arfuso F, Sethi G. Triple negative breast cancer in Asia: An insider's view, *Cancer Treat. Rev.* 2018; 62: 29–38. doi:10.1016/j.ctrv.2017.10.014.
28. Ramya N, Priyadarshini XX, Prakash R. Anti-cancer activity of *Trachyspermum ammi* against MCF7 cell lines mediates by p53 and Bcl-2 mRNA levels., *J Phytopharm.* 2017; 6: 78–83.
29. Vitali LA, Beghelli D, Biapa Nya PC, Bistoni O, Cappellacci L, Damiano S. Diverse biological effects of the essential oil from Iranian *Trachyspermum ammi*, *Arab. J. Chem.* 2016; 9: 775–86. doi:10.1016/j.arabjc.2015.06.002.
30. Kianmehr Z, Khorsandi K, Mohammadi M, Hosseinzadeh R. Low-level laser irradiation potentiates anticancer activity of p-coumaric acid against human malignant melanoma cells, *Melanoma Res.* 2020; 30: 136–46. doi:10.1097/CMR.0000000000000603.
31. Khorsandi K, Kianmehr Z, Hosseini Mardi Z, Hosseinzadeh R. Anti-cancer effect of gallic acid in presence of low level laser irradiation: ROS production and induction of apoptosis and ferroptosis, *Cancer Cell Int.* 2020; 20: 18. doi:10.1186/s12935-020-1100-y.